

都立大学 正員 山本 稔
 都立大学 正員 山崎 良一
 大成建設 正員 横内脩二

1. 目的

地下鉄道において、駅舎およびその他諸種の構造からシールドトンネルを複線にする場合、トンネルの離隔距離に関する土質力学的研究にはまだみるべき成果が少なく、施工に当っては経験的に、トンネルの純向隔が求められている現状である。著者らは、シールドトンネルのモデル実験法としてすでにその基礎が確立されていける光弹性実験法を使用し、並列複線シールドトンネルの相互干渉について考察した。

2. 実験

地山材料は、粒径 1.0mm 、単位体積重量 6.8kg/m^3 ($C = 0.64$)、内部マツク角 $\phi = 30^\circ$ の散弾である。また覆工モデルは、エポキシ樹脂(アラルタイトB型、ハードナー901)を用いて製作され、その形状は、図-1に示す通りである。

並列複線シールドトンネルの相互干渉は、覆工モデルの中心向隔のみをパラメーターとして表わされるものとし、これをトンネルの外径 D に対して $1.2D$, $1.3D$, $1.5D$, $2.0D$ に変えて実験を行った。もちろん、相互干渉は、この他に土被り厚、トンネルと地山との間の空隙などにも直接支配されると考えられるから、土被り厚は、 $1.0D$,

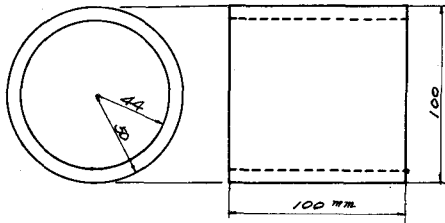


図-1 モデルの形状

空隙は、 D の 0.6% の場合を設定して条件を整えた。さらに、実際に施工される状態は、次の二つの場合の中間に位置すると考え、これら二つの場合について若干上述の実験を行った。場合1、先進トンネルが後進トンネルの掘削に際し剛体として挙動する場合。先進トンネルとして、後進トンネルと同じ寸法の鉄製トンネルモデルを使用し、後進トンネル覆工の応力を測定し、既設先進トンネルが後進トンネルに及ぼす影響を調べる。場合2、先進トンネル、後進トンネルの両者が共に掘削推進され、地山が広い範囲に渡って乱されると考えられる場合。両者のトンネルにエポキシ樹脂リングを使用し両者の応力を測定する。そして資料のバラッキの影響をさけるために、同じ実験を4度繰返した。したがって、二二に行われたモデル実験は、 $4 \times 2 \times 4 = 32$ ケースである。応力凍結法の原理を逆に用いた地山と覆工の間に、モデルの外径の約 0.6% に当たる向隔が生ずるようにならかじめ覆工モデルに膨張变形を与えておき、これを図-2に示す様に散弾中の所定の位置にproject型でうめ込む。そして所定の温度サイクルをたどらしめてモデルの凍結変形を解放すると同時に、地山をゆるましめ、これによって発生した土圧による応力をモデルに凍結させる。温度サイクルの完了後、モデルは散弾中から取り出されその中央断面を含んだスライスが光弹性実験に供される。

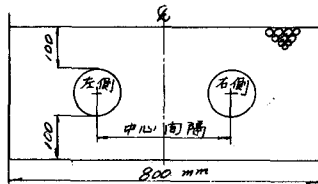


図-2 モデルうめ込み位置

3. 実験結果

凍結された応力の光弾性縮写真、及び二此より解釈された覆工内縁応力の代表例を写真-1、図-3に示す。覆工に作用する土圧を図-4に示す分布形に仮定し、これより算出された内縁応力と実験から求められた応力を等値させることにより覆工に作用する土圧を求めることが出来る。図-5には、かくして得られた平均鉛直土圧とトンネル相互の中心間隔との関係が例示されている。

次に実験から得られた主なる結論を列挙すれば、i). 場合1)に於ては、中心間隔の如何にかかわらず応力図は単設トンネルの場合と、変りなく先進トンネルが後進トンネルに及ぼす影響はない。ii). 場合2)においては、トンネル相互の左側間隔が1.3D以下で応力状態に相互干渉が認められるが、二以上以上の中心間隔では応力状態は、単設トンネルのそれとほぼ同様である。iii) 平均鉛直土圧は、全実験結果を通じて単設トンネルの土圧と変らず、応力図に認められる様な干渉は顕著に現われない。尚、i)~iii)を総合し、実際への応用として iv) 良質砂質地山において施工される並列複線シールドトンネルは、その中心間隔が、外径の1.5倍以上離れしければ、単設シールドトンネルと同じ土圧ならびに応力状態と考えて良いと推察される。

終りに、実験に当つて助力下された前田建設工業KK. 丹野忠彦氏に厚くお礼申し上げます。

参考文献 山本義、応力凍結法を利用した地下構造物の光弾性実験
(シールド工法によって砂中に構築されるトンネルを対象として)

土と基礎楚、14-11.12. 15-1, 1966

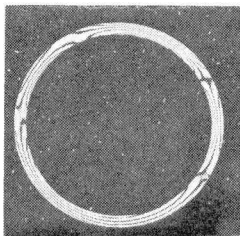
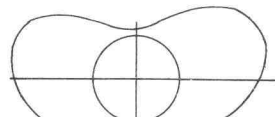
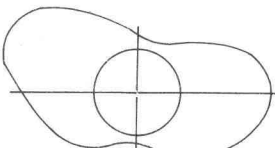


写真-1
場合2) 中心間隔 1.3D 左側

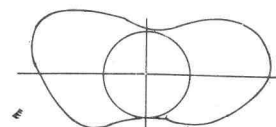
図-3 応力図



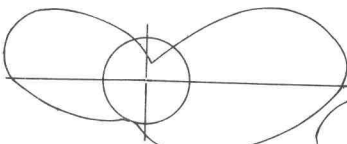
单設トンネルの場合



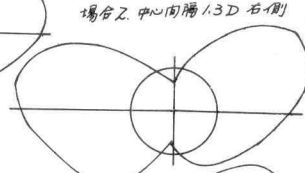
場合1) 中心間隔 1.2D



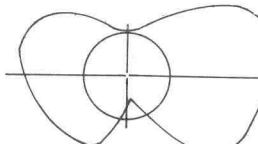
場合1) 中心間隔 1.5D



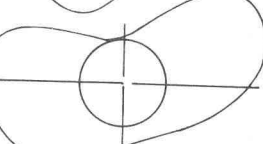
場合2) 中心間隔 1.3D 左側



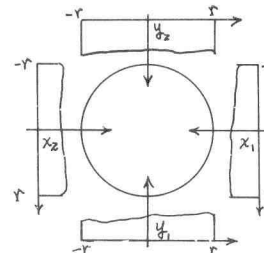
場合2) 中心間隔 1.3D 右側



場合2) 中心間隔 1.5D 左側



場合2) 中心間隔 1.5D 右側



$$\begin{aligned}
 y_1 &= P_0 x^3 + P_1 x^2 - \frac{1}{3} P_2 x^2 + P_3 x + P_4 \\
 y_2 &= P_0 x^3 + P_1 x^2 - \frac{1}{3} P_2 x^2 + P_3 x + P_4 \\
 x_1 &= P_5 y^3 + P_6 y + P_7 \\
 x_2 &= P_8 y^3 + P_9 y + P_{10} \\
 \text{但し, } & P_1 = -P_3 + P_4 + P_5 \\
 & P_2 = -P_6 + P_7 + P_8
 \end{aligned}$$

図-4 仮定土圧分布形

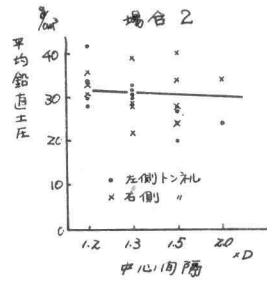
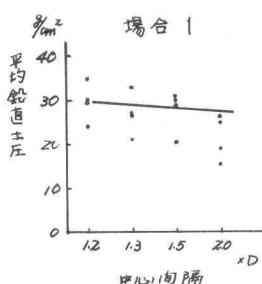


図-5 鉛直平均土圧